



HOLOMATIC

禾多科技

规划控制相关知识分享

潘虎

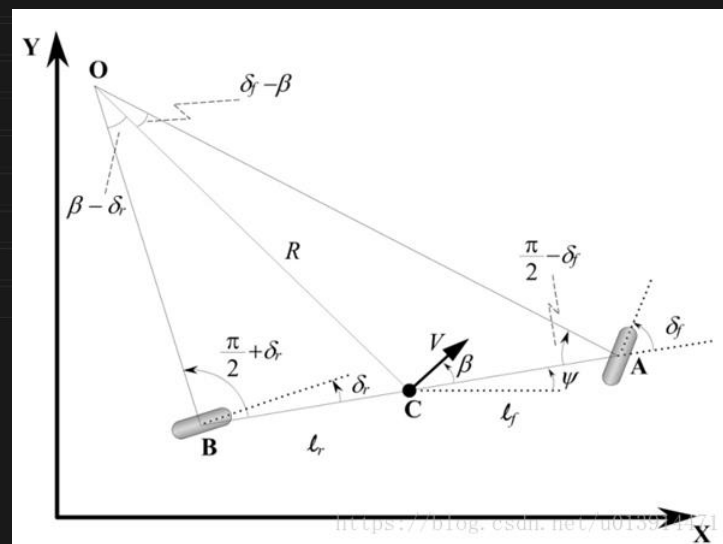
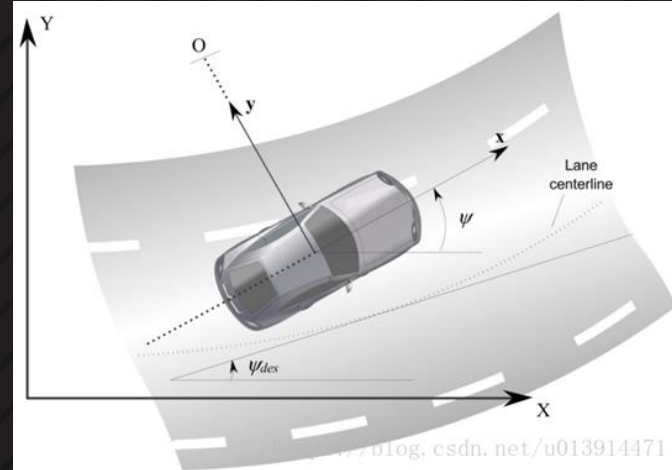
目录

- 一、车辆的运动学模型
- 二、车辆的动力学模型
- 三、MPC控制算法

一、车辆运动学模型

车辆的单车模型（简化模型）

1. 不考虑车辆在Z轴方向的运动，只考虑XY水平面的运动，如图1所示；
2. 左右侧车轮转角一致，这样可将左右侧轮胎合并为一个轮胎，如图2所示；
3. 车辆行驶速度变化缓慢，忽略前后轴载荷的转移；
4. 车身及悬架系统是刚性的；



一、车辆运动学模型

车辆的运动学模型

联立1.1和1.2可以得到1.5公式

低速环境下，车辆行驶路径的转弯半径变化缓慢，

此时我们可以假设车辆的方向变化率等于车辆的角速度。

则车辆的角速度为

$$\dot{\psi} = \frac{V}{R} \quad (1.6)$$

$$\dot{\psi} = \frac{V \cos \beta}{\ell_f + \ell_r} (\tan \delta_f - \tan \delta_r) \quad (1.7)$$

$$\frac{\sin(\delta_f - \beta)}{\ell_f} = \frac{\sin(\frac{\pi}{2} - \delta_f)}{R} \quad (1.1)$$

$$\frac{\sin(\beta - \delta_r)}{\ell_r} = \frac{\sin(\frac{\pi}{2} + \delta_r)}{R} \quad (1.2)$$

$$(\tan \delta_f - \tan \delta_r) \cos \beta = \frac{\ell_f + \ell_r}{R} \quad (1.5)$$

一、车辆运动学模型

车辆的运动学模型

在惯性坐标系XY下，可得到车辆的运动学模型：

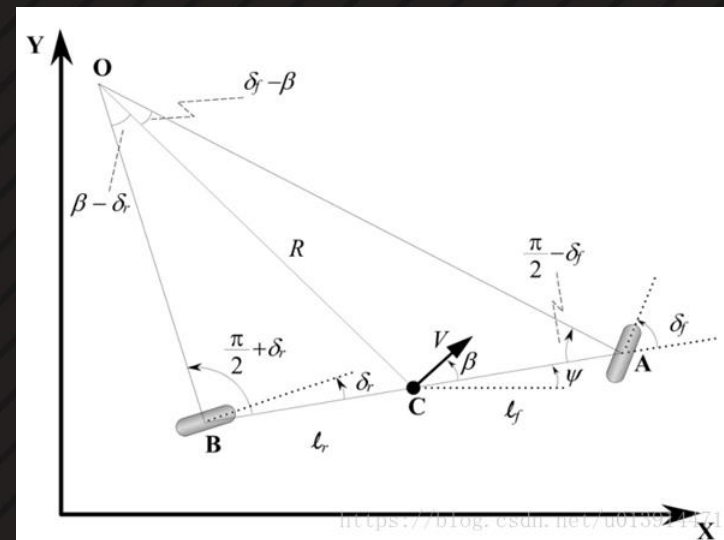
$$\begin{cases} \dot{X} = V \cos(\psi + \beta) \\ \dot{Y} = V \sin(\psi + \beta) \\ \dot{\psi} = \frac{V \cos \beta}{l_f + l_r} (\tan \delta_f - \tan \delta_r) \end{cases} \quad (1.8)$$

这里假设后轮转角 δ_r 恒为 0° ， 滑移角 β 极小， 假设为0。

当状态量为 $\xi = [X_r, Y_r, \psi]$ ， 被控量为 $u = [v_r, \delta_f]$ 时，

公式(1.8)可转换为如下形式：

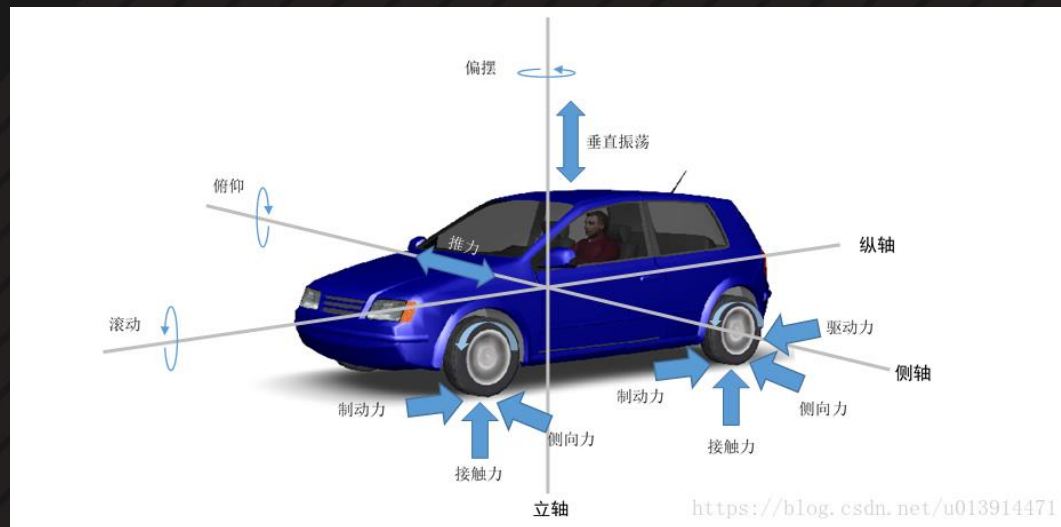
$$\begin{bmatrix} \dot{X}_r \\ \dot{Y}_r \\ \dot{\psi} \end{bmatrix} = \begin{bmatrix} \cos \psi \\ \sin \psi \\ \tan \delta_f / l \end{bmatrix} v_r \quad (1.15)$$



一、车辆动力学模型

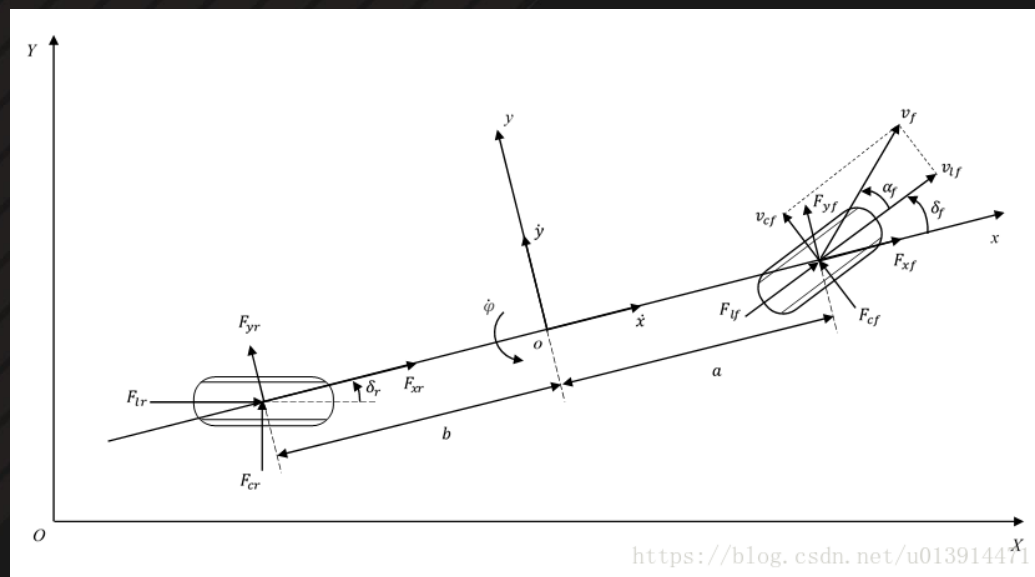
正常情况下，车辆上的作用力沿着三个不同的轴分布：

1. 纵轴上的力包括驱动力和制动力，以及滚动阻力和拖拽阻力作滚摆运动；
2. 横轴上的力包括转向力、离心力和侧风力，汽车绕横轴作俯仰运动；
3. 立轴上的力包括车辆上下振荡施加的力，汽车绕立轴作偏摆或转向运动



车辆的单车模型（简化模型）

1. 只考虑纯侧偏轮胎特性，忽略轮胎力的纵横向耦合关系；
2. 用单车模型来描述车辆的运动，不考虑载荷的左右转移；
3. 忽略横纵向空气动力学。



一、车辆动力学模型

根据牛顿第二定律，分别沿x轴，y轴和z轴作受力分析：

在X轴方向上：

$$ma_x = F_{xf} + F_{xr}$$

(1)

在y轴方向上：

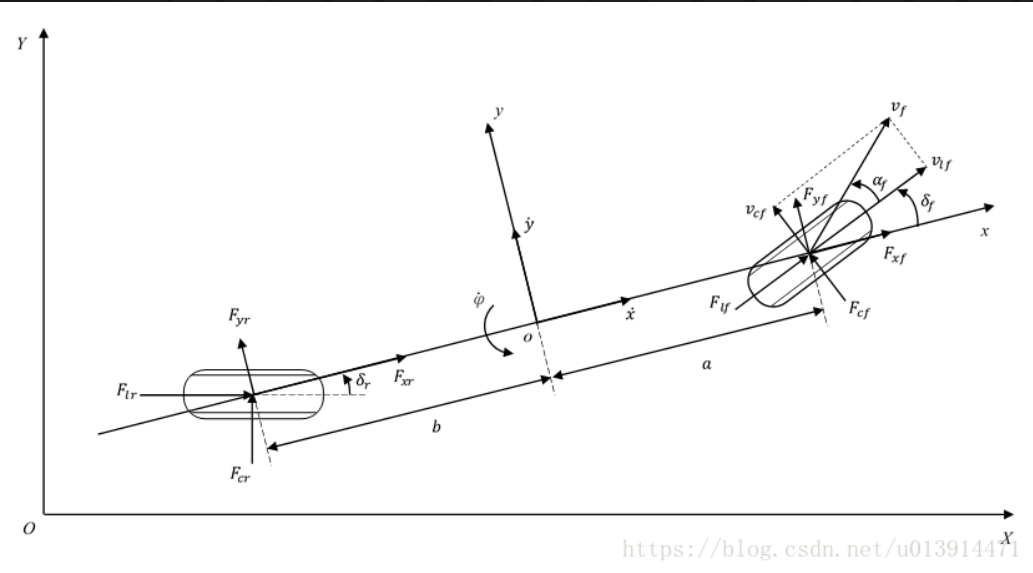
$$ma_y = F_{yf} + F_{yr}$$

(2)

在Z轴方向上：

$$I_z \ddot{\phi} = aF_{yf} - bF_{yr}$$

(3)



| 符号 | 定义 |
|------------------|---------------|
| F_{lf}, F_{lr} | 前、后轮胎受到的纵向力 |
| F_{cf}, F_{cr} | 前、后轮胎受到的侧向力 |
| F_{xf}, F_{xr} | 前、后轮胎受到的x方向的力 |
| F_{yf}, F_{yr} | 前、后轮胎受到的y方向的力 |
| a | 前悬长度 |
| b | 后悬长度 |
| δ_f | 前轮偏角 |
| δ_r | 后轮偏角 |
| α_f | 前轮偏移角 |

二、车辆动力学模型

由车辆运动学可知：

y轴方向加速度 a_y 由两部分构成：

y轴方向的位移相关的加速度 \ddot{y} 和向心加速度 $V_x\dot{\varphi}$

$$a_y = \ddot{y} + V_x\dot{\varphi}$$

公式2可以变成：

$$m(\ddot{y} + V_x\dot{\varphi}) = F_{yf} + F_{yr} \quad (4)$$

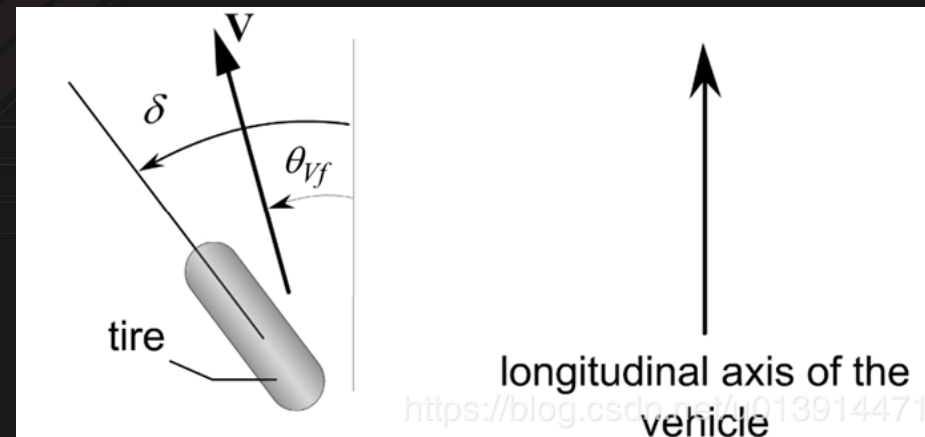
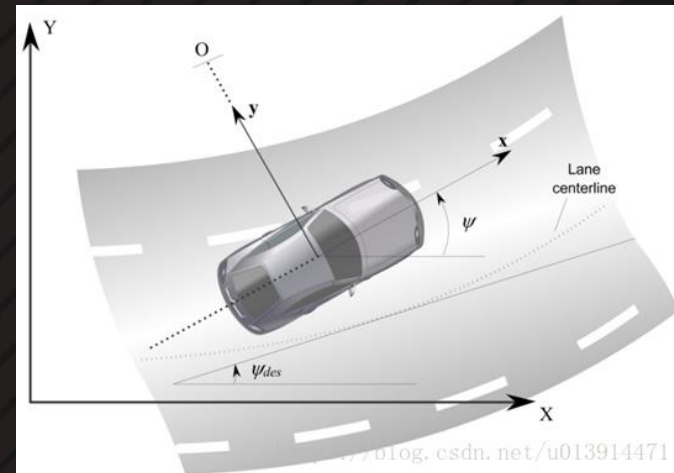
车辆轮胎模型：

前轮受到的横向力：

$$F_{yf} = 2C_{\alpha f}(\delta - \theta_{Vf}) \quad (7)$$

后轮受到的横向力：

$$F_{yr} = 2C_{\alpha r}(-\theta_{Vr}) \quad (8)$$



二、车辆动力学模型

由车辆轮胎模型可以得到：

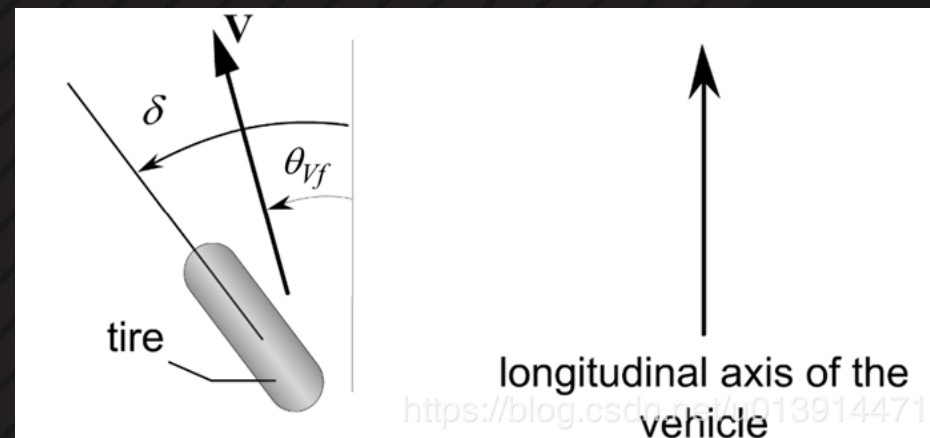
$$\tan(\theta_{Vf}) = \frac{V_y + \ell_f \dot{\phi}}{V_x} \quad (9)$$

$$\tan(\theta_{Vr}) = \frac{V_y - \ell_r \dot{\phi}}{V_x} \quad (10)$$

由于车辆的前后轮转动角度较小，近似可以得到：

$$\theta_{Vf} = \frac{\dot{y} + \ell_f \dot{\phi}}{V_x} \quad (11)$$

$$\theta_{Vr} = \frac{\dot{y} - \ell_r \dot{\phi}}{V_x} \quad (12)$$



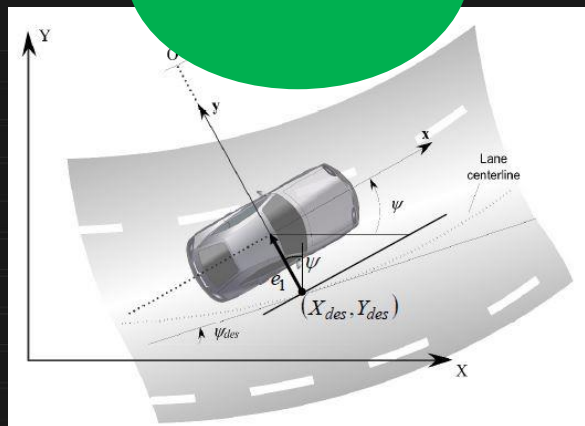
二、车辆动力学模型

将公式5、公式6、公式11、公式12代入公式2、公式3中可得动力学模型：

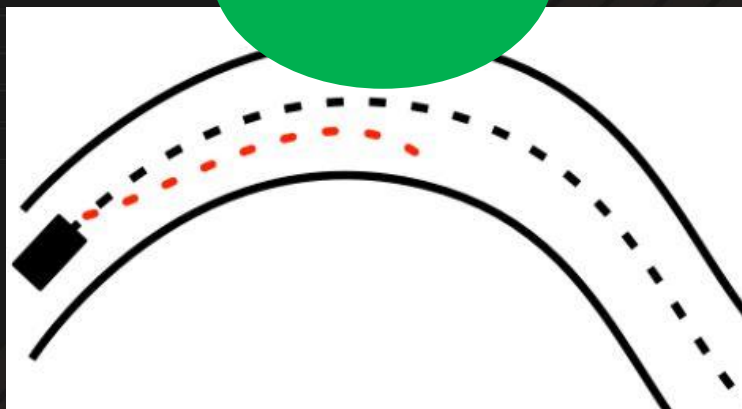
$$\frac{d}{dt} \begin{bmatrix} y \\ \dot{y} \\ \varphi \\ \dot{\varphi} \end{bmatrix} = \begin{bmatrix} 0 & 1 & 0 & 0 \\ 0 & -\frac{2C_{af}+2C_{ar}}{mV_x} & 0 & -V_x - \frac{2C_{af}\ell_f-2C_{ar}\ell_r}{mV_x} \\ 0 & 0 & 0 & 1 \\ 0 & -\frac{2C_{af}\ell_f-2C_{ar}\ell_r}{I_z V_x} & 0 & -\frac{2C_{af}\ell_f^2+2C_{ar}\ell_r^2}{I_z V_x} \end{bmatrix} \begin{bmatrix} y \\ \dot{y} \\ \varphi \\ \dot{\varphi} \end{bmatrix} + \begin{bmatrix} 0 \\ \frac{2C_{af}}{m} \\ 0 \\ \frac{2\ell_f C_{af}}{I_z} \end{bmatrix} \delta \quad (13)$$

三、MPC控制算法

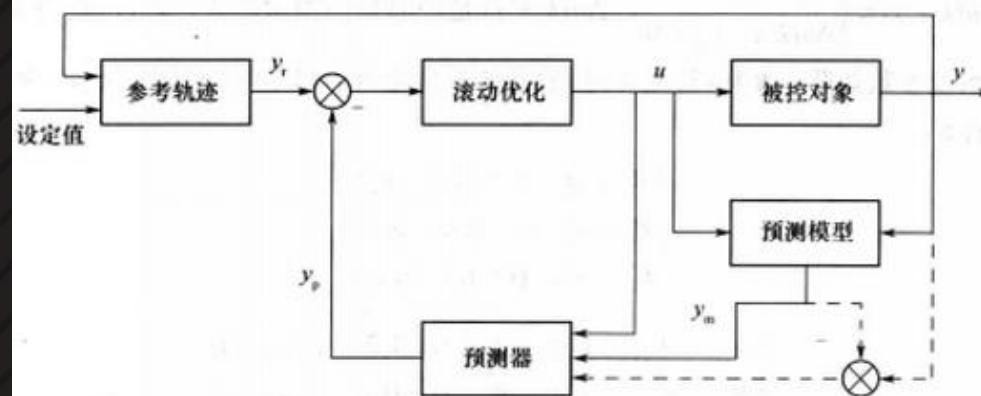
模型



预测



控制



三、MPC控制算法

方向盘控制模型：

横向控制主要通过控制轮胎转角实现，而对于驾驶员来说，可直接操控的是方向盘角度，因此在搭建车辆动力学模型时，可以以相对于道路的方向和距离误差为状态变量的动力学模型。

假设， e_1 为横向误差，车辆质心距车道中心线的距离， e_2 为航向误差，车辆纵向速度为 V_x ，车辆转弯半径为 R 。

车身转过期望角度所需转角速度：

$$\dot{\phi}_{des} = \frac{V_x}{R} \quad (15)$$

所需的横向加速度：

$$a_{y_{des}} = \frac{V_x^2}{R} = V_x \dot{\phi}_{des} \quad (16)$$

三、MPC控制算法

方向盘控制模型：

横向加速度误差：

$$\ddot{e}_1 = a_y - a_{y_{des}} = (\ddot{y} + V_x \dot{\phi}) - \frac{V_x^2}{R} = \ddot{y} + V_x(\dot{\phi} - \dot{\phi}_{des}) \quad (17)$$

横向速度误差：

$$\dot{e}_1 = \dot{y} + V_x(\phi - \phi_{des}) \quad (18)$$

航向误差：

$$e_2 = \phi - \phi_{des} \quad (19)$$

将这些公式带入车辆的动力学模型公式中，可以得到方向盘控制的动力学模型：

$$\frac{d}{dt} \begin{bmatrix} e_1 \\ \dot{e}_1 \\ e_2 \\ \dot{e}_2 \end{bmatrix} = \begin{bmatrix} 0 & 1 & 0 & 0 \\ 0 & -\frac{2C_{af}+2C_{ar}}{mV_x} & \frac{2C_{af}+2C_{ar}}{m} & -\frac{2C_{af}\ell_f+2C_{ar}\ell_r}{mV_x} \\ 0 & 0 & 0 & 1 \\ 0 & -\frac{2C_{af}\ell_f-2C_{ar}\ell_r}{I_z V_x} & \frac{2C_{af}\ell_f-2C_{ar}\ell_r}{I_z} & -\frac{2C_{af}\ell_f^2+2C_{ar}\ell_r^2}{I_z V_x} \end{bmatrix} \begin{bmatrix} e_1 \\ \dot{e}_1 \\ e_2 \\ \dot{e}_2 \end{bmatrix} + \begin{bmatrix} 0 \\ \frac{2C_{af}}{m} \\ 0 \\ \frac{2C_{af}\ell_f}{I_z} \end{bmatrix} \delta + \begin{bmatrix} 0 \\ -\frac{2C_{af}\ell_f-2C_{ar}\ell_r}{mV_x} - V_x \\ 0 \\ -\frac{2C_{af}\ell_f^2+2C_{ar}\ell_r^2}{I_z V_x} \end{bmatrix} \dot{\phi}_{des}$$

三、MPC控制算法

$$\frac{d}{dt} \begin{bmatrix} e_1 \\ \dot{e}_1 \\ e_2 \\ \dot{e}_2 \end{bmatrix} = \underbrace{\begin{bmatrix} 0 & 1 & 0 & 0 \\ 0 & -\frac{2C_{\alpha f} + 2C_{\alpha r}}{mV_x} & \frac{2C_{\alpha f} + 2C_{\alpha r}}{m} & -V_x - \frac{2C_{\alpha f}l_f - 2C_{\alpha r}l_r}{mV_x} \\ 0 & 0 & 0 & 1 \\ 0 & -\frac{2l_fC_{\alpha f} - 2l_rC_{\alpha r}}{I_zV_x} & \frac{2C_{\alpha f}l_f - 2C_{\alpha r}l_r}{I_z} & -\frac{2l_f^2C_{\alpha f} + 2l_r^2C_{\alpha r}}{I_zV_x} \end{bmatrix}}_{\mathbf{A}t} \begin{bmatrix} e_1 \\ \dot{e}_1 \\ e_2 \\ \dot{e}_2 \end{bmatrix} + \underbrace{\begin{bmatrix} 0 \\ \frac{2C_{\alpha f}}{m} \\ 0 \\ \frac{2l_fC_{\alpha f}}{I_z} \end{bmatrix}}_{\mathbf{B}t} \delta + \underbrace{\begin{bmatrix} 0 \\ -\frac{2C_{\alpha f}l_f - 2C_{\alpha r}l_r}{mV_x} - V_x \\ 0 \\ -\frac{2C_{\alpha f}l_f^2 + 2C_{\alpha r}l_r^2}{I_zV_x} \end{bmatrix}}_{\mathbf{C}t} \dot{\psi}_{des} \quad (9)$$

e_1 : lat error
 e_2 : heading error

三、MPC控制算法

$$\dot{x} = A_t x + B_t u + C_t \quad (10)$$



$$x(k+1) = Ax(k) + Bu(k) + C \quad (11)$$

三、MPC控制算法

预测过程:

$$x(k+1) = Ax(k) + Bu(k) + C \quad (12)$$

$$x(k+2) = A^2x(k) + ABu(k) + Bu(k+1) + AC + C$$

$$x(k+3) = A^3x(k) + A^2Bu(k) + ABu(k+1) + Bu(k+2) + A^2C + AC + C$$

\vdots

$$x(k+n) = A^n x(k) + A^{n-1}Bu(k) + \dots + Bu(k+n-1) + A^{n-1}C + \dots + AC + C$$

n : steps of prediction



$$X = M + Ku + CC$$

(13)

三、MPC控制算法 预测过程：

$$X = M + Ku + CC:$$

(13)

$$X = \begin{bmatrix} x(k+1) \\ x(k+2) \\ x(k+3) \\ \vdots \\ x(k+n) \end{bmatrix} \quad M = \begin{bmatrix} Ax(k) \\ A^2x(k) \\ A^3x(k) \\ \vdots \\ A^nx(k) \end{bmatrix} \quad K = \begin{bmatrix} B & 0 & 0 & 0 \\ AB & B & 0 & 0 \\ A^2B & AB & B & 0 \\ \dots & \dots & \dots & \dots \\ A^{n-1}B & \dots & AB & B \end{bmatrix}$$

$$CC = \begin{bmatrix} C \\ AC + C \\ A^2C + AC + C \\ \vdots \\ A^{n-1}C + \dots + AC + C \end{bmatrix}$$

三、MPC控制算法 滚动优化过程：

$$J = \frac{1}{2} \int_0^{\infty} (x^T Q x + u^T R u) dt \quad (14)$$

x : State vector

u : Input vector

Substituting (13) $X = M + Ku + CC$ into the above equation (14):

$$J = \frac{1}{2} \int_0^{\infty} [(Ku + M + CC)^T Q (Ku + M + CC) + u^T R u] dt \quad (15)$$

三、MPC控制算法

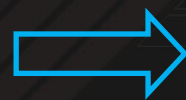
滚动优化过程：

$$J = \frac{1}{2} \sum_{i=1}^n [(Ku_i + M + CC)^T Q (Ku_i + M + CC) + u_i^T R u_i] \quad (16)$$

$$= \frac{1}{2} \sum_{i=1}^n [u_i^T (K^T Q K + R) u_i + (M + CC)^T Q K u_i + u_i^T K^T Q (M + CC) + (M + CC)^T Q (M + CC)] \quad (17)$$

$$= \sum_{i=1}^n [\frac{1}{2} u_i^T (K^T Q K + R) u_i + u_i^T K^T Q (M + CC)] \quad (18)$$

$$\text{QP: } q(x) = \frac{1}{2} x^T H x + x^T C$$



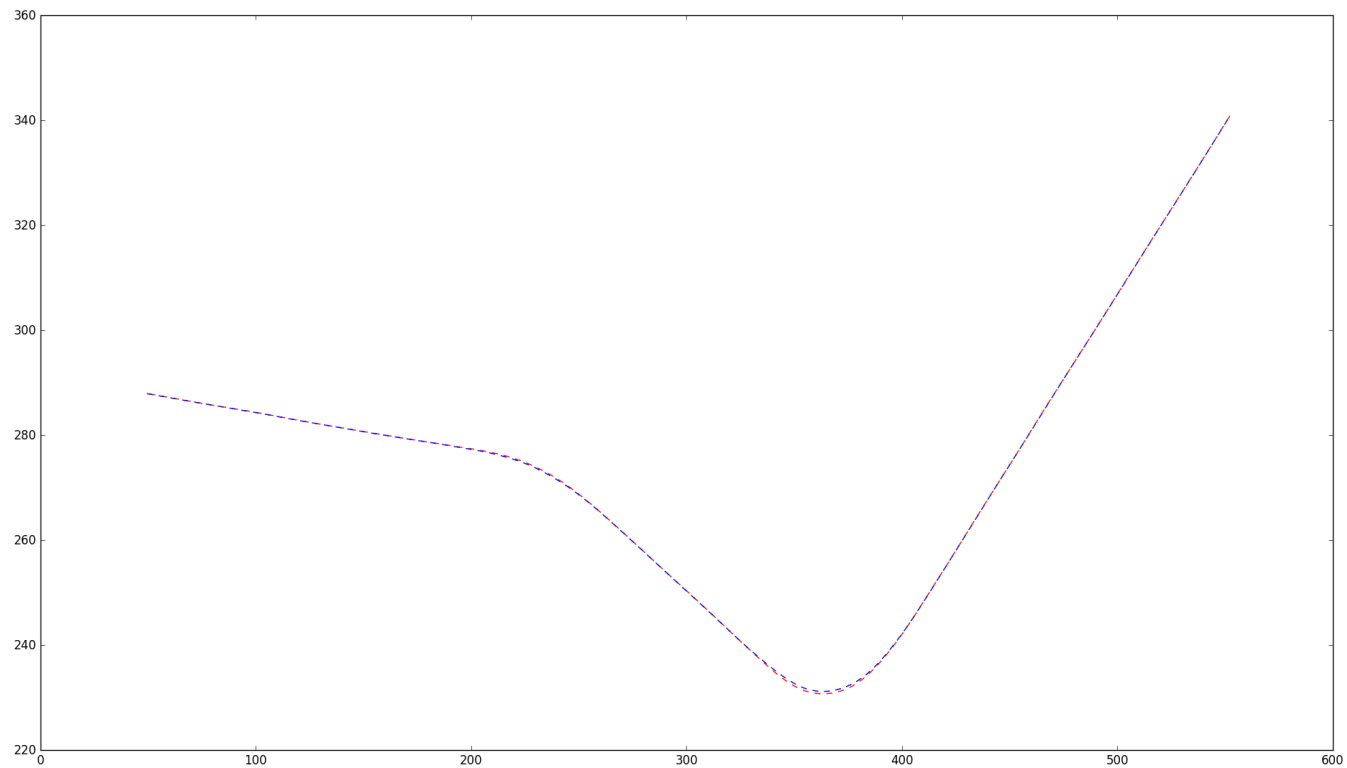
$$\begin{aligned} H &= K^T Q K + R \\ C &= K^T Q (M + CC) \end{aligned} \quad (19)$$

三、MPC控制算法

模型预测控制器的一般工作步骤可以概括如下：

- 1、在 t 时刻，结合历史信息和当前状态以及预测模型，预测 N 步的系统输出；
- 2、结合约束条件等，设计目标函数，计算最优控制解 $u^*(t)$ ，输入到被控车辆，使其在当前控制量下运动；
- 3、获取车辆状态 $x(t)$ ，输入到状态估计器中，对那些无法直接用传感器获取或观测成本较高的的状态量进行估计，然后将 $\hat{x}(t)$ 输入到MPC控制器，再次进行优化求解，以得到未来一段时间的预测控制序列；
- 4、然后在 $t+1$ 时刻重复上述步骤，如此，滚动地实现带约束的优化问题，从而实现对被控对象的连续控制。

三、MPC控制算法仿真实例



参考文献

- 【1】 Rajamani R. Vehicle Dynamics and Control[M]. Springer Science, 2006.
- 【2】 龚建伟, 姜岩, 徐威. 无人驾驶车辆模型预测控制[M]. 北京理工大学出版社, 2014.



HOLOMATIC

禾多科技